

05.1; 05.2; 05.3

© 1992

АНИЗОТРОПИЯ ЭЛЕКТРОМЕХАНИЧЕСКИХ СВОЙСТВ
КРИСТАЛЛИТОВ И МЕХАНИЧЕСКАЯ
ПРОЧНОСТЬ СЕГНЕТОКЕРАМИКИ

Е.И. Бондаренко, В.Ю. Тополов

Интерес к проблеме механической прочности сегнетокерамических (СК), пьезоэлектрических и родственных им материалов вызван требованиями практики. Кроме того, исследование механизмов разрушения СК в связи с фазовыми переходами, доменной структурой и анизотропией физических свойств является актуальным для физики разрушения. Анализ литературных данных показывает [1], что СК типа $BaTiO_3$ в процессе разрушения ведет себя как хрупкое тело с характеристиками, зависящими от фазового состояния материала. Экспериментальные данные свидетельствуют как о снижении предела прочности СК при растяжении σ_{pr} в случае перехода из параэлектрической (ПЭ) в сегнетоэлектрическую (СЭ) фазу [2], так и о повышении [3, 4]. Согласно [2], механическая прочность СК $BaTiO_3$ при температуре $T=298$ К на 62.8 МПа меньше, чем при $T=423$ К. Этую разность авторы [2] связывают с возникновением в СЭ фазе внутренних напряжений.

Расхождения между результатами [2] и [3, 4], по-видимому, указывают на существование дополнительного механизма влияния фазовых переходов на σ_{pr} . Как будет показано в настоящей работе, такой механизм может быть обусловлен изменением анизотропии электромеханических свойств СК. Для этого нами исследовалось распределение механических напряжений σ_{fg}^* по кристаллитам приложении к образцу внешнего однородного растягивающего напряжения σ_{fg}^0 . В предлагаемой модели сферический кристаллит с вектором спонтанной поляризации $P_s \parallel OX_3$ окружен однородной средой — СК матрицей, поляризованной вдоль оси OX_3^* . Оси прямоугольной системы координат матрицы (X_1^*, X_2^*, X_3^*) и кристаллита (X_1, X_2, X_3) связаны направляющими косинусами $a_{kr}(\varphi, \psi, \theta)$, где φ, ψ, θ — углы Эйлера.

Основываясь на результатах теории [5], уравнение упругого равновесия кристаллита с механически напряженной матрицей в системе координат (X_1, X_2, X_3) имеет вид

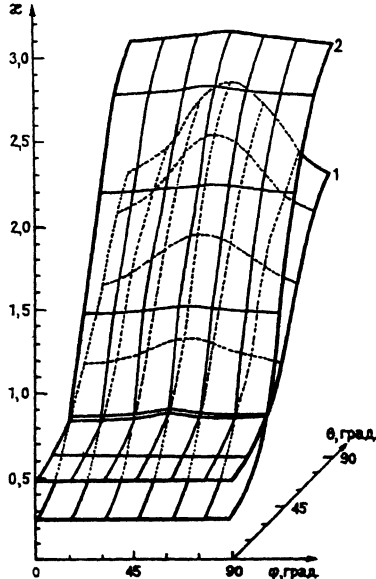
$$c_{ijkl} (\xi_{kl}^0 + S_{klmn} \xi_{mn}^* - \xi_{kl}^*) = c_{ijkl}^* (\xi_{kl}^0 + S_{klmn} \xi_{mn}^* - \xi_{kl}^*). \quad (1)$$

В (1) c_{ijkl} и c_{ijkl}^* — модули упругости кристаллита и СК матрицы соответственно; $\xi_{kl}^0 = a_{kr} a_{lt} s_{rlf_0}^* b_{fg}^0$ — деформации матрицы,

зависящие от ее упругих податливостей s_{ijkl}^* ; S_{klmn} – факторы формы, зависящие от c_{ijkl} матрицы и геометрии кристаллита; $\sum \xi_{mn} = \xi'_{mn} + \xi''_{mn}$; ξ'_{mn} – деформации кристаллита, связанные с $c_{ijkl} \neq c^*_{ijkl}$ и влиянием ϵ_{fg}^0 ; $\xi''_{mn} = d_{amn} E_a$ – его пьезодеформации, возбуждаемые электрическим полем СК матрицы $E_a = -\alpha_{ae} g_{efh}^* \epsilon_{fg}^0$ (в простейшем случае мы не учитываем деполяризационных эффектов); коэффициенты d_{amn} и g_{efh}^* характеризуют пьезоэлектрические свойства кристаллита и матрицы соответственно. После определения ξ'_{mn} внутренние механические напряжения $\sigma_{ij} = \sigma_{ij}(\epsilon_{fg}^0)$ рассчитываются с использованием любой из частей (1). В системе координат $(X_1^* X_2^* X_3^*)$ эти напряжения принимают вид $\sigma_{fg}^* = \alpha_{fg} \alpha_{gj} \sigma_{ij}$. Отношение $\alpha_{fg} = \sigma_{fg}^* / \epsilon_{fg}^0$ характеризует усиление ($\alpha_{fg} > 1$) или ослабление ($\alpha_{fg} < 1$) внутри кристаллита, приложенного к образцу внешнего напряжения ϵ_{fg}^0 .

Нами определены ориентационные зависимости $\alpha_{33} (\varphi, \psi, \theta)$ для СК $BaTiO_3$ и $PbTiO_3$ в СЭ (T=298 К) и ПЭ (T=423 К и 803 К для $BaTiO_3$ и $PbTiO_3$ соответственно) фазах с использованием экспериментальных данных [6]. В СЭ фазе мы выделяли вклады в $\alpha_{33}^{c_3} = \alpha + \alpha_n$, обусловленные только упругим взаимодействием кристаллита и матрицы α (в (1), полагали $\sum \xi_{mn} = \xi'_{mn}$; $\xi''_{mn} = 0$) и связанные с их пьезоэлектрической активностью α_n (в (1) подставляли $\sum \xi'_{mn} = \xi''_{mn}$). Результаты расчетов α представлены на рисунке, а α_n задаются формулой $\alpha_n = (A \cos^2 \theta + B) \cos \theta$, где $A = -0.738$; $B = 0.784$ ($BaTiO_3$) и $A = -0.324$; $B = 0.517$, ($PbTiO_3$). В ПЭ фазе вследствие кубической анизотропии кристаллита для обоих соединений $\alpha^{n_3} \approx 1$. Практическое отсутствие зависимости $\alpha_{33}^{c_3}$ от ψ связано с симметрией модели и близостью c_{ijkl}^* к модулям упругости изотропной среды. Более резкие максимумы $\alpha(\varphi)_{\theta \rightarrow 90^\circ}$ у $BaTiO_3$, чем у $PbTiO_3$, в значительной мере обусловлены различием $(c_{12}^E - c_{13}^E)|_{BaTiO_3} \approx 2(c_{12}^E - c_{13}^E)|_{PbTiO_3}$. В ПЭ фазе, где $c_{12} = c_{13}$, зависимость $\alpha^{n_3}(\varphi)$ для обеих СК выражена слабо.

Как показывают расчеты, в кристаллитах с ориентацией $75^\circ \leq \theta \leq 90^\circ$ $\alpha_{33}^{c_3} \approx 2$. Если пренебречь 90° -ми переориентациями и масштабным эффектом, величина σ_{pr} СК должна уменьшиться примерно в 2 раза. Например, для крупнозернистой СК $BaTiO_3$ при комнатной температуре следует ожидать понижения σ_{pr} от 152 до 76 МПа (экспериментальные значения 152 и 96 МПа соответственно [2]). 90° -е переориентации, весьма заметные в сегнетомягких СК (например, в $BaTiO_3$ до 75 % кристаллитов переориентируется под действием двухосного сжимающего напряжения ~ 200 МПа [7]), приводят к уменьшению $\alpha_{33}^{c_3}$ и увеличению σ_{pr} в СЭ фазе (до 117 МПа для крупнозернистой СК $BaTiO_3$). Однако



Зависимость $z(\varphi, \theta)$ для СК BaTiO_3 (1) и PbTiO_3 (2).

в сегнетоэлектрических (ЦТС-23) и средних по жесткости (ТБК-3) СК число таких переориентаций меньше [7]. В СК PbTiO_3 неоднородность распределения G_{33}^* возрастает (см. рисунок), а 90° -е переориентации отсутствуют вплоть до напряжений ~ 300 МПа [8]. Следовательно, влияние анизотропии электромеханических свойств на σ_{pr} СК PbTiO_3 более значительно.

Роль масштабного эффекта зависит от характера распределения размеров дефектов (трещин Гриффитса). Значительная концентрация G_{33}^* (среднее значение $\bar{\alpha} \approx 2$ в BaTiO_3) имеет место в кристаллитах при $\theta \geq 75^\circ$ (см. рисунок), суммарный объем которых $\sigma^* \approx \sigma/4$, где σ — объем образца. Учитывая масштабный эффект [1], оценки в СЭ фазе необходимо умножить на $(\sigma/\sigma^*)^m$, где m — параметр Вейбулла. Для узкого распределения дефектов ($m \approx 10$) поправочный коэффициент незначителен (1.15), тогда как для $m \approx 3$ (характерно для ЦТС-19 [1]) влияния масштабного эффекта (увеличение σ_{pr} в 1.6 раз) и анизотропии на σ_{pr} практически компенсируют друг друга. При выборе же $\bar{\alpha} \approx 1.6$ ($\sigma^* \approx \sigma/2$) роль масштабного эффекта незначительна.

Таким образом, изменение анизотропии электромеханических свойств, вызванное фазовыми переходами, может существенным образом повлиять на σ_{pr} СК, и его необходимо учитывать при интерпретации экспериментальных данных.

Список литературы

- [1] З а ц а р и н н ы й В.П. Прочность пьезокерамики. Ростов н/Д: РГУ, 1978. 208 с.
- [2] Р о h a n k a R.C., R i c e R.W., W a l-
k e r B.E., S m i t h P.L. // Ferroelectrics.
1976. V. 10. N 1-4. P. 231-235.
- [3] G r e k o v A.A., K r a m a r o v S.O. //
Ferroelectrics. 1978. V. 18. N 4. P. 249-255.
- [4] К а т р и ч М.Д., Ш и л ь н и к о в А.В. Физика диэлек-
триков и полупроводников. Волгоград, 1986. С. 187-195.
- [5] M u r a T. Micromechanics of defects in
solids. Dordrecht: Martins Nijhoff Publ., 1987.
XIV, 587 р.
- [6] Физика сегнетоэлектрических явлений / Под ред. Г.А. Смолен-
ского. Л.: Наука, 1985. 396 с.
- [7] Д у д к е в и ч В.П., К у л е ш о в В.В., Т у р и к А.В.,
Ф е с е н к о Е.Г. // ЖТФ. 1977. Т. 47. № 10. С. 2168-
2172.
- [8] Ф е р о н о в А.Д., К у л е ш о в В.В., Д у д к е-
в и ч В.П., Ф е с е н к о Е.Г. // ЖТФ. 1980. Т. 50.
№ 3. С. 621-623.

Научно-исследовательский
институт физики
Ростовского
государственного
университета

Поступило в Редакцию
11 ноября 1991 г.